



## آنالیز آماری بیان آنتی‌ژن MAGE-A4 در سرطان‌های وابسته و پیش‌بینی عرضه آنتی‌ژن با مولکول HLA-B37 مبتنی بر روش‌های بیوانفورماتیکی

زهرا سرگزی: دانشجوی تحصیلات تکمیلی زیست‌فناوری میکروبی، گروه زیست‌شناسی، دانشکده علوم دانشگاه فردوسی مشهد، مشهد، ایران  
علی اکبر حداد‌مشهدریزه: استادیار، گروه زیست‌شناسی، دانشکده علوم، دانشگاه فردوسی مشهد، مشهد، ایران (✉نویسنده مسئول) a.haddad@um.ac.ir  
منصور مشرفی: استاد، گروه زیست‌شناسی، دانشکده علوم، دانشگاه فردوسی مشهد، مشهد، ایران  
محمد رضا حسین دخت: استاد، گروه شیمی، دانشکده علوم، دانشگاه فردوسی مشهد، مشهد، ایران

### چکیده

#### کلیدواژه‌ها

ایمونوتوکسین،  
آنتی‌ژن MAGE4،  
داکینگ، شبیه‌سازی دینامیک  
مولکولی،  
آنتی‌بادی مونوکلونال،  
پپتید

تاریخ دریافت: ۹۷/۸/۲۹

تاریخ پذیرش: ۹۷/۱۰/۲۲

**زمینه و هدف:** ایمونوتوکسین‌ها از جمله راهبردهای امیدوارکننده در درمان هدفمند سلول‌های سرطانی هستند که با مکانیسم اتصال اختصاصی به آنتی‌ژن‌های توموری عمل می‌کنند. لذا واکاوی این نوع از آنتی‌ژن‌ها و پایش ویژگی‌های ساختاری و عملکردی آن‌ها فراهم‌کننده بستری در ارتباط با توسعه این نوع از داروها می‌باشد. در این تحقیق، مطالعه خانواده آنتی‌ژنی MAGE بر اساس آزمون‌های بیوانفورماتیکی در دستور کار قرار گرفته است.

**روش کار:** در گام نخست، آنالیز آماری بیان آنتی‌ژن‌های خانواده MAGE در انواع سرطان‌ها با استفاده از برنامه SPSS انجام گرفت. بعد از تعیین MAGE-A4 به عنوان آنتی‌ژن برتر، براساس مرور منابع، اپی‌توپ‌های اتصال MAGE-A4 با ایزوفرم‌های مختلف HLA شناسایی شد. سپس با استفاده از برنامه‌های BIMAS و SYFPEITHI اپی‌توپ‌های اتصال گزارش شده در منابع تأیید شد. شاخص پایداری و ایمونوژنسیته اپی‌توپ‌ها به ترتیب با استفاده از برنامه‌های PROTPRAM و IEDB انجام شد. به منظور تعیین میل اتصال و پایداری کمپلکس HLA-B37-peptide در شرایط شبه واقعی، نرم افزارهای اتوداک وینا و گرومکس I 5. مورد استفاده قرار گرفت.

**یافته‌ها:** نتایج حاصل از این آزمون منجر به آشکارسازی میزان و گستره بیانی بالای MAGE-A4 در مقایسه با سایر اعضای این خانواده شد. همچنین پپتید VDELAHFLL مشتق شده از MAGE-A4 با بالاترین میزان پایداری و ایمونوژنسیته مطلوب آشکار شد. از سوی دیگر کمپلکس HLA-B37-VDELAHFLL با پایین‌ترین میزان نمودار RMSD به عنوان پایدارترین کمپلکس ارزیابی گردید.

**نتیجه‌گیری:** به طور کلی نتایج حاصل از این تحقیق نشان داد که پپتید مورد نظر VDELAHFLL از آنتی‌ژن MAGE-A4 ممکن است در تولید آنتی‌بادی مونوکلونال و توسعه واکسن در درمان مدرن سرطان مدنظر قرار گیرد.

**تعارض منافع:** گزارش نشده است.  
**منبع حمایت‌کننده:** حامی مالی نداشته است.

### شیوه استناد به این مقاله:

Sargazi Z, Haddad-Mashadrizheh A, Mashreghi M, Housaindokht MR. Statistical analysis of MAGE-A4 antigen expression in relative cancers and predicting antigen presentation by HLA-B37 molecule based on bioinformatics tools. Razi J Med Sci. 2019;25(12):74-83.

\*انتشار این مقاله به صورت دسترسی آزاد مطابق با 1.0 CC BY-NC-SA صورت گرفته است.



Original Article

## Statistical analysis of MAGE-A4 antigen expression in relative cancers and predicting antigen presentation by HLA-B37 molecule based on bioinformatics tools

**Zohreh Sargazi**, MSc Student of Microbial Biotechnology, Ferdowsi University of Mashhad, Mashhad, Iran

**Aliakbar Haddad-Mashadrizeh**, Assistant Professor, Faculty of Science, Biology Department, Ferdowsi University of Mashhad, Mashhad, Iran (\*Corresponding author) [a.haddad@um.ac.ir](mailto:a.haddad@um.ac.ir)

**Mansor Mashreghi**, Professor, Faculty of Science, Biology Department, Ferdowsi University of Mashhad, Mashhad, Iran

**Mohammad Reza Housaindokht**, Professor, Faculty of Science, Chemistry Department, Ferdowsi University of Mashhad, Mashhad, Iran

### Abstract

**Background:** Immunotoxins, one of the promising therapeutic agents can be used in targeted of cancer therapy based on specific binding to tumor-related antigen. Evaluating and specifying the structural and functional features of these antigens provide new perspectives in the field of cancer therapy. In this study, we decipher the structure and function of MAGE antigen family based on in-silico and bioinformatic evaluation.

**Methods:** In the first step, using SPSS software statistical analysis of the MAGE family antigens expression in a variety of cancer types was performed. After determining the MAGE- A4 as a superior antigen with the highest expression level, based on the review of the literature, the MAGE-A4 binding epitopes were identified for HLA isoforms. Then bioinformatic databases such as BIMAS and SYFPEITHI programs were used to confirm the reported HLA-binding epitopes in literature. Stability index and immunogenicity of epitopes were defined by ProtPran and IEDB software respectively. To determine the binding affinity and stability of HLA-peptide complex, docking screening and molecular dynamic simulation was conducted using Autodock Vina and gromacs 5.1 softwares.

**Results:** Our results revealed that the MAGE-A4 antigen had high expression compared with other MAGE family members. Also, MAGE-A4 derived peptide, VDELAHFLL, with the highest stability and favorable immunogenicity was appeared. On the other hand, the most stable of HLA-B37- VDELAHFLL complex with the lowest amount of RMSD plot was Obtained.

**Conclusion:** Generally, our results indicated that VDELAHFLL desired peptide from MAGE-A4 antigen might be promising to generate the therapeutic monoclonal antibody and vaccine development in modern cancer therapy.

**Conflicts of interest:** None

**Funding:** None

### Keywords

Immunotoxin,  
MAGE-A4 antigen,  
Docking,  
Molecular dynamic  
simulation,  
Monoclonal antibody,  
Peptide

Received: 20/10/2018

Accepted: 12/01/2019

### Cite this article as:

Sargazi Z, Haddad-Mashadrizeh A, Mashreghi M, Housaindokht MR. Statistical analysis of MAGE-A4 antigen expression in relative cancers and predicting antigen presentation by HLA-B37 molecule based on bioinformatics tools. Razi J Med Sci. 2019;25(12):74-83.

This work is published under [CC BY-NC-SA 1.0 licence](https://creativecommons.org/licenses/by-nc-sa/4.0/).



HLA به شکل پپتیدهای ۹-۱۱ آمینواسیدی از متن توالی می‌باشد، که نوع HLA به پراکنش نژادی بستگی دارد (۶). شناسایی پپتیدهای مشتق شده از این خانواده آنتی‌ژنی بعد از عرضه توسط HLA به CTL منجر به از بین رفتن سلول عرضه کننده پپتید خواهند شد (۷). بنابراین این پپتیدها دارای ارزش تشخیصی و درمانی هستند (۶) و شناسایی آنها از اعضای مختلف خانواده آنتی‌ژنی MAGE می‌تواند برای ایمونوتراپی سرطان بر پایه CTL به کار روند (۷). در میان اعضای این خانواده، MAGE-A4 با گستره بیانی بالا در طیف وسیعی از سرطان‌ها از جمله کارسینومای اروتلیال، سرطان‌های مثانه، ریه، تخمدان، سرگردن و... (۸)، گزینه‌ای مناسب برای اهداف ایمونوتراپی تومور محسوب می‌شود. در همین راستا، عرضه چندین پپتید اپی‌توپی این آنتی‌ژن توسط مولکول‌های HLA مختلف شامل HLA-A\*0201، HLA-A1، A24 (۹). بر اساس داده‌ها، اختصاصیت پپتید اپی‌توپی برای مولکول HLA وابسته به میل ترکیبی بالا و پایداری پپتید مورد نظر در مولکول HLA می‌باشد (۱۰). بنابراین سنجش توالی MAGE-A4 به منظور آشکارسازی اپی‌توپ‌های پپتیدی و تعیین HLA مربوطه در نژادهای مختلف می‌تواند راهکاری در جهت طراحی داروهای نوین بر علیه سرطان‌های وابسته به این آنتی‌ژن باشد، که در این تحقیق بر اساس روش‌های محاسباتی در دستور کار قرار دارد. در این راستا، با توجه به حمل اپی‌توپ‌های پپتیدی مشتق شده از MAGE-A4 با واسطه مولکول HLA-B37 به سطح سلول (۱۱)، برهم‌کنش‌های محاسباتی پپتیدها با HLA-B37 انجام شد.

### روش کار

بررسی میزان بیان آنتی‌ژن: به منظور بررسی میزان بیان آنتی‌ژن‌های خانواده MAGE از پایگاه داد PROTEIN ATLAS به آدرس <https://www.proteinatlas.org> استفاده شد. این پایگاه در سال ۲۰۰۳ با هدف تهیه نقشه پروتئینی

چالش‌های درمانی رایج در حوزه سرطان، منجر به توسعه روش‌های هوشمند درمانی مانند ایمونوتوکسین‌ها شده است که با قابلیت هدف قرار دادن اختصاصی آنتی‌ژن‌های سلول‌های سرطانی عمل می‌کنند (۱). لذا شناخت این نوع از مولکول‌های سطحی آنتی‌ژنی گام مهمی در مسیر طراحی داروهای ایمونوتوکسینی و نیز روش‌های نوین تشخیصی می‌باشد. به طور کلی آنتی‌ژن‌های سطح سلول سرطانی به دو دسته اختصاصی و مشترک تقسیم می‌شوند. نوع اختصاصی این آنتی‌ژن‌ها فقط در سطح سلول‌های سرطانی بیان می‌شوند، در حالیکه آنتی‌ژن‌های مشترک علاوه بر بیان در سلول‌های طبیعی در حالت بدخیمی بیان بیش از حد پیدا می‌کنند (۲). علاوه بر این، آنتی‌ژن‌های ویروسی، آنتی‌ژن‌های ایجاد شده در اثر تغییرات ژنتیکی و آنتی‌ژن‌های کد شده توسط ژن‌های لایه زایای سرطان (Cancer-germline genes) یا آنتی‌ژن‌های سرطان بیضه (Cancer/testis antigens) به دلیل پتانسیل بالا در برانگیختن پاسخ ایمنی بسیار حائز اهمیت هستند در میان اعضای مختلف آنتی‌ژن‌های سرطان بیضه، خانواده آنتی‌ژنی MAGE با ۲۵ عضو (۳) در حالت طبیعی تنها در سلول‌های جفت و لایه زایا در جنس مذکر بیان می‌شوند (۳). این سلول‌ها به دلیل عدم بیان مولکول‌های کمپکس عرضه کننده آنتی‌ژن (MHC) که در انسان (HLA) نام دارد بدون تحریک پاسخ ایمنی و حذف سلولی به واسطه لنفوسیت‌های T سایتوتوکسیک (Cytotoxic T lymphocyte: CTL) بیان می‌شوند (۴). با این وجود، در حالت سرطانی شدن در سلول‌های طبیعی به دلیل فرایندهای اپی‌ژنتیکی از جمله دمتیلاسیون، این ژن‌ها در سطح طیف وسیعی از سلول‌های توموری با منشا بافتی مختلف ظاهر می‌شوند و ضمن تحریک سیستم ایمنی به منظور حذف سلول ناهنجار، در مهاجرت، مقاومت آپوپتوزی، سرکوب سیستم ایمنی و رگزایی نقش ایفا می‌کنند (۵). الگوی بیانی این نوع از آنتی‌ژن‌ها در سلول‌های طبیعی و سرطانی نشان دهنده عرضه آن‌ها توسط مولکول‌های

کمپلکس پپتید-HLA با کمترین میزان انرژی اتصال یا بیشترین مقدار میل ترکیبی مورد استفاده قرار گرفت. پیوندهای هیدروژنی درگیر در اتصال پپتید به HLA توسط برنامه Ligplot (۱۹) شناسایی شد.

**شبیه سازی دینامیک مولکولی:** با هدف شناخت پایدارترین کمپلکس پپتید-HLA-B37، از روش شبیه سازی دینامیک مولکولی با استفاده از برنامه Gromacs 5.1 (۲۰) استفاده شد. تمامی شبیه‌سازی‌ها درون یک جعبه مکعبی پر شده با مدل آب [TIP3P] با شرایط مرزی PBC انجام شد. برای اینکه بار کل سیستم صفر شود یون‌های سدیم و کلر بر اساس غلظت فیزیولوژیک ۱۵۰ میلی مولار به سیستم اضافه شدند. انرژی سیستم‌ها به پایین‌ترین سطح ممکن رسانده شد. سپس به مدت ۲۰۰ پیکو ثانیه برای متعادل‌سازی NVT و ۵۰۰ پیکو ثانیه برای متعادل‌سازی NPT شبیه‌سازی انجام شد. پس از اینکه تمام سیستم‌ها متعادل شدند، شبیه‌سازی به مدت ۱۰ نانوثانیه و در شرایط ثابت دمایی ۳۰۰ درجه کلوین و ۱ اتمسفر اجرا شد.

ارزیابی‌های آماری داده‌ها: بررسی‌های آماری در این مطالعه با نسخه ۲۱٫۰ نرم‌افزار SPSS (SPSS Inc, Chicago, IL, USA) صورت گرفت. همچنین، مقایسه میانگین داده‌ها با کمک آزمون Duncan و روش آنالیز واریانس یک طرف (One-Way ANOVA) انجام گردید. در همه محاسبات ارزش عددی P کمتر از ۰/۰۵ در نظر گرفته شد.

### یافته‌ها

بررسی میزان بیان آنتی‌ژن‌های خانواده MAGE: نتایج بدست آمده از داده‌های آماری در ارتباط با میزان بیان اعضاء مختلف آنتی‌ژن‌های خانواده MAGE نشان دهنده میزان بیان متفاوت آن‌ها در سلول‌های سرطانی بود (شکل ۱). همانطوری که در این شکل نمایش داده شده است، MAGE-C3 کمترین و MAGE-A4 دارای بیشترین میزان بیان در انواع سرطان‌ها می‌باشد.

ارزیابی گستره بیانی آنتی‌ژن MAGE-A4: بررسی سلول‌های سرطانی بیان کننده آنتی‌ژن MAGE-A4 و میزان بیان آن منجر به آشکار شدن طیفی از سلول‌های بدخیم با قابلیت بیان این آنتی‌ژن در حالت سرطانی به

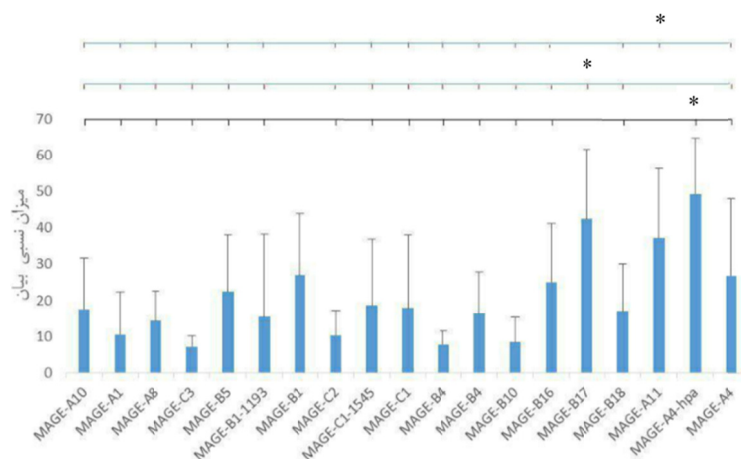
انسان مبتنی بر روش‌های مختلف امیکس پایه‌گذاری شده است (۱۲).

دستیابی به توالی‌های پروتئینی و ساختارها: توالی کامل آنتی‌ژن MAGE-A4 از پایگاه (NCBI, NCBI (http://www.ncbi.nlm.nih.gov) شماره دستیابی NP\_001011550 دریافت شد. همچنین فرمت PDB این آنتی‌ژن و HLA-B37 به ترتیب با شماره‌های شناسایی 2WA0 و 2RFX از پایگاه RCSB (www.rcsb.org) گرفته شد.

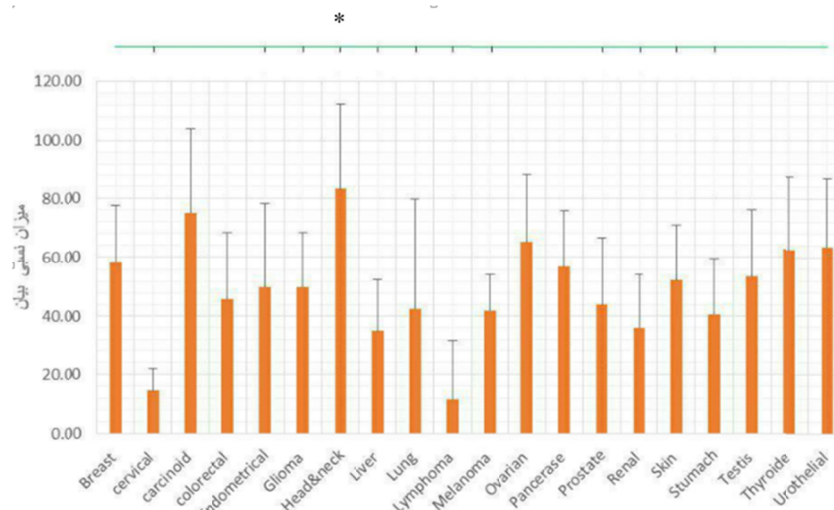
تعیین ساختار دوبعدی آنتی‌ژن: آشکارسازی ساختار دوبعدی با استفاده از پایگاه داده PDBSUM (۱۳) انجام شد. این پایگاه، حاوی اطلاعات ساختاری همه پروتئین‌های موجود در پایگاه داده پروتئین یا RCSB می‌باشد که با کمک این اطلاعات قادر به پیشگویی ساختارهای مدل شده نوین یا نو ترکیب می‌باشد. واکاوی و پیشگویی اپی‌توپی: واکاوی الیگوپپتیدهای اپی‌توپی مستتر در توالی MAGE-A4 بر اساس مرور منابع (۹) و با استفاده از برنامه‌های محاسباتی BIMAS (۱۴) و SYFPEITHI (۱۵) برای تأیید اپی‌توپ‌های گزارش شده در مقالات با توجه به نوع HLA آن‌ها و پیش بینی اپی‌توپ‌های اتصال MAGE-A4 به مولکول HLA-B37 صورت پذیرفت.

ارزیابی خواص فیزیکوشیمیایی و ایمونوژنسیته: به منظور شناخت پایداری پپتیدهای مشتق شده از MAGE-A4، ویژگی‌های فیزیکوشیمیایی این موتیف‌ها با استفاده از برنامه تحت شبکه PROTPRAM تعیین شد. این برنامه ارزیابی پایداری پپتیدها، شاخص آلیفاتیک، PH ایزوالکتریک (PI) و هیدروفوبیسیته توالی‌های پروتئینی و پپتیدی را مورد سنجش قرار می‌دهد. پتیدی پروتئین با شاخص ناپایداری کمتر از ۴۰ به عنوان پایدار در نظر گرفته می‌شود. همچنین شاخص آلیفاتیک بالا که مبین درصد اسیدهای آمینه شاخه‌دار والین، لوسین، ایزولوسین و آلانین می‌باشد، به عنوان معیاری برای پایداری پروتئین/پپتید محسوب می‌شود (۱۶). ایمونوژنسیته اپی‌توپ‌های اتصال MAGE-A4 نیز توسط برنامه تحت شبکه IEDB (۱۷) تعیین شد.

تعیین میل اتصال: در این تحقیق برنامه اتوداک وینا (AutoDock Vina) (۱۸)، برای تعیین میزان انرژی اتصال اپی‌توپ به HLA-B37 به منظور تعیین



شکل ۱- بررسی مقایسه‌ای میزان بیان آنتی‌ژن‌های خانواده MAGE (علامت \* نتایج با اختلاف معنای ۰/۰۵)



شکل ۲- میزان نسبی بیان MAGE-A4 در انواع بافت‌های سرطانی (علامت \* نتایج با اختلاف معنای ۰/۰۵)

به انتهای C توالی و در مارپیچ‌های الف ساختارهای ثانویه استقرار دارند.

پیشگویی اپی‌توپ‌های MAGE-A4 قابل اتصال به HLA-B37: نتایج حاصل از پایش توالی MAGE-A4 منجر به آشکار سازی ۴ اپی‌توپ اتصالی با موقعیت و امتیاز متفاوت در طول این توالی شد (جدول ۱ و شکل ۴). همانطوریکه در شکل ۴ نمایش داده شده است، بررسی مقایسه‌ای میل اتصالی این پپتیدها قابلیت بالای VDELAHFLL در اتصال به HLA-B37 را نشان داد.

بررسی ویژگی‌های پایداری و ایمونوژنسیتی اپی‌توپ‌ها: بررسی شاخص‌های ناپایداری، بیانگر پایداری بالای پپتید VDELAHFLL با عدد 28.77- و بیشترین ناپایداری برای پپتید NYKRCFPVI با شاخص ناپایداری 87.91 شد (جدول ۲). از سوی دیگر در این

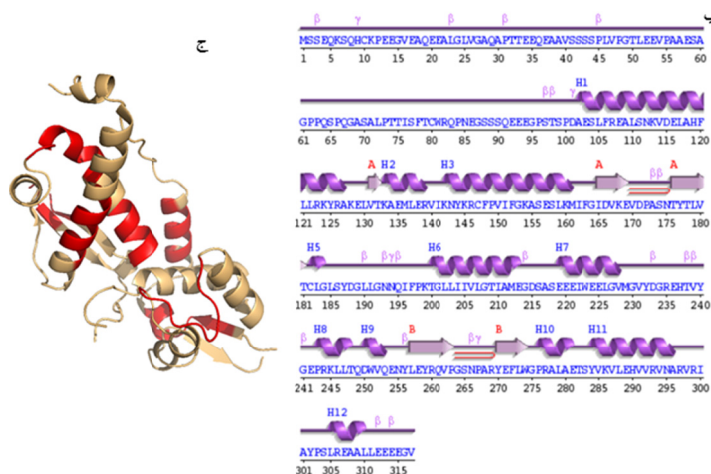
میزان متفاوت شد. شکل ۲ نشان دهنده این است که در حالت سرطانی شدن، سلول‌های بافت‌های مختلف قابلیت بیان این آنتی‌ژن را دارا می‌باشند. با این وجود، بیشترین میزان بیان به ترتیب در سلول‌های سرطانی سروگردن، کارسینوئید، تخمدان، اروتلیال، تیروئید و پستان مشاهده شد.

موقعیت‌یابی اپی‌توپ‌های قابل اشتقاق از MAGE-A4 مبتنی بر منابع: واکاوی منابع، منجر به آشکار سازی پپتیدهای اتصالی مختلف به مولکول‌های HLA متفاوت بر اساس پراکنش جمعیتی شد، که موقعیت و توالی آنها در ساختارهای اول، دوم و سوم در شکل ۳ نمایش داده شده است. باتوجه به شکل ۵، موتیف قابل اتصال به ایزوفرم‌های مختلف HLA در جمعیت‌ها نشان داده شده است که موقعیت آن‌ها در ساختار اولیه بیشتر



الف

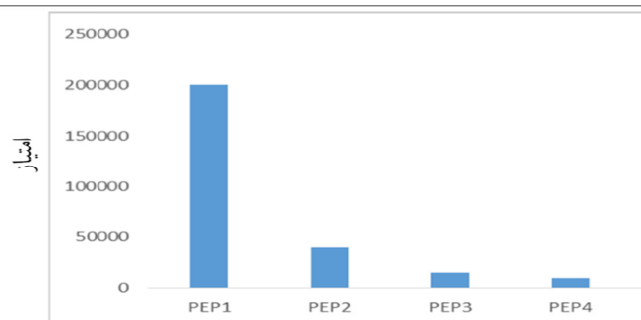
MSSEQKQHQCKPEEGVEAQEEALGLVGAQAPTTEEQEAASVSSSLVPGTLEEVPAAESAGPPQSQGASALPTTISFTCWRQPNNEG  
 SSSQEEEGPSTSPDAESLFRALSNKVDLAHFLLRKYRAKELVTKAEMLERVIK **NKRCFPY** FGKA **SESLKMI** GIDVK **EVDPASNT** T  
 LVTCGLSYDGLLGNQIFPKTGLLIVLGTIAMEGDSASEEEIWEELGVM **GVDYDGREHTV** YGEPKLLTQDWWQENYLEYRQVPGSN  
 PARYE **FLWGPRLA** ETSYVKVLEHVVRNARVRIAYPSLREAALEEEEGV



شکل ۳- موقعیت موتیف‌های آنتی ژنی مستتر در الف: ساختار اول، ب: ساختار دوم و ج: ساختار سوم توالی آنتی ژنی MAGE-A4

جدول ۱- نتایج حاصل از پیش‌بینی موتیف‌های آنتی ژنی قابل اشتقاق از توالی MAGE-A4

ردیف	برنامه BIMAS		برنامه SYFPEITHI	
	جایگاه شروع	توالی	جایگاه شروع	توالی
1	114	VDELAHFLL	102	AESLFREAL
2	249	QDWWQENLY	114	VDELAHFLL
3	218	SEEEIWEEL	218	SEEEIWEEL



شکل ۴- امتیاز ناشی از میل اتصال‌ی اپی توپ‌های مشتق از آنتی ژن MAGE-A4 به HLA-B37.

Abbreviation: PEP1:VDELAHFLL, PEP2:QDWWQENLY, PEP3:SEEEIWEEL, PEP4:AETSYVKVL

اتصال‌ی یاکمترین سطح انرژی و همچنین بیشترین تعداد پیوندهیدروژنی را برای موتیف VDELAHFLL نشان داد (جدول ۳ و شکل ۵). با توجه به این شکل مشاهده می‌شود که این سطح انرژی ناشی از پیوندهای هیدروژنی توسط آمینواسیدهای Tyr7, Glu63, Tyr9, Tyr84, Thr73, Asn77, Asn66 پیوندی ۲/۸۰ انگستر می‌باشد.

جدول مشخص شده است که، در میان موتیف‌های آنتی ژنی پیش‌بینی شده، پپتید VDELAHFLL ایمونوژن‌ترین پپتید بعد از پپتید GVDYDGREHTV ارزیابی شده است. ارزیابی میل اتصال‌ی اپی توپ‌ها: نتایج حاصل از ارزیابی میل اتصال‌ی موتیف‌های آنتی ژنی مشتق شده از MAGE-A4 با مولکول HLA-B37 بالاترین میزان میل

**جدول ۲-** شاخص‌های مقایسه‌ای پایداری و ایمونوژنسیته پپتیدهای گزارش شده MAGE-A4 بامولکول HLA-B37.

پپتید	جایگاه	شاخص ناپایداری	شاخص آلیفاتیک	PI	هیدروفوبیسیته / ایمونوژنسیته
NYKRCLPVI	143-151	87.91 ناپایدار	75.56	9.31	-0.089/ 0.05454
SESLKMIF	156-163	87.04 ناپایدار	97.50	5.72	0.500/ -0.32784
EVDPASNTY	169-177	4.16 پایدار	43.33	3.67	-0.989/ -0.10437
GVYDGREHTV	230-239	10.06 پایدار	58.00	5.32	-0.910/ 0.24875
FLWGPRALA	272-280	15.30 پایدار	108.89	9.75	0.733/ 0.17046
KVLEHVVRV	286-294	-8.92 پایدار	172.22	8.75	0.611/ 0.23259
VDELAHFL	114-123	-28.77 پایدار	173.33	4.35	1.111/ 0.18221

**جدول ۳-** سطح انرژی ناشی از اتصال پپتیدها با مولکولی HLA-B-37.

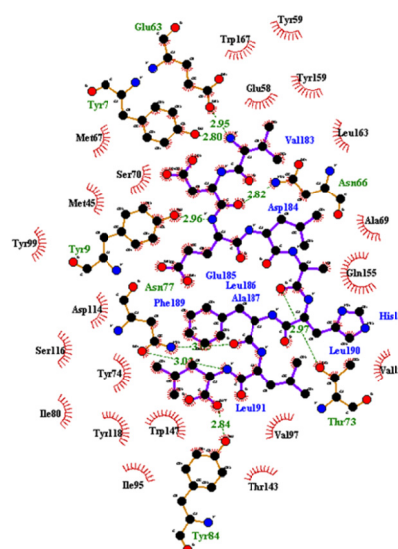
پپتید	انرژی اتصالی (kcal/mol)
NYKRCLPVI	-5.7
SESLKMIF	-5.6
EVDPASNTY	-5.9
GVYDGREHTV	-6.2
FLWGPRALA	-7.3
KVLEHVVRV	-5.8
VDELAHFL	-8.6

HLA-B-37 در شرایط شبه واقعی، پایدارترین کمپلکس را در ارتباط با پپتید VDELAHFL با پایین‌ترین میزان نمودار انحراف RMSD در مدت زمان ۱۰ نانو نشان داد (شکل ۶). تغییرات منحنی RMSD در فاصله ۰/۱ تا ۰/۲۵ نانومتر متغیر است، که در این میان کمپلکس مرتبط با VDELAHFL دارای کمترین نوسانات از نقطه آغاز می‌باشد (نمودار ۶).

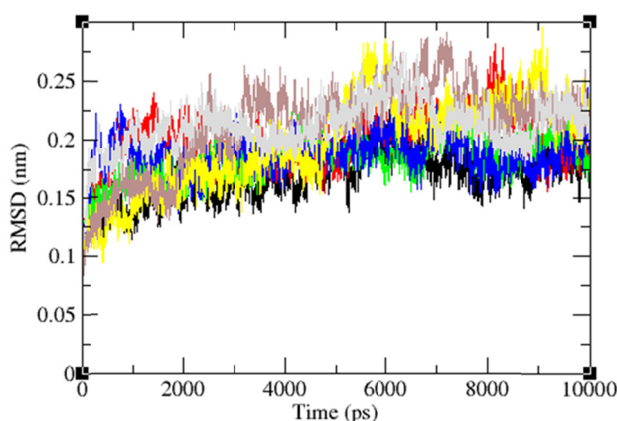
### بحث و نتیجه‌گیری

شناخت آنتی‌ژن‌های سطح سلول‌های سرطانی از آن جهت حائز اهمیت است که می‌توانند اهداف ایمونوتراپی سرطان واقع شوند. در این میان، آنتی‌ژن‌هایی که خاص سلول سرطانی باشند به دلیل عوارض جانبی کمتر برای طراحی داروهای هدفمند درمان سرطان مطلوب هستند (۲۱). خانواده آنتی‌ژنی MAGE، از گروه آنتی‌ژن‌های CTA خاص تومور هستند که در سلول‌های لایه زیای جنس مذکر و جفت در حالت نرمال بیان می‌شوند و در سلول‌های

شبه سازی دینامیک مولکولی: نتایج حاصل از بررسی پایداری کمپلکس پپتیدهای آنتی‌ژنی با



**شکل ۵-** اسیدهای آمینه دخیل در اتصال پپتید VDELAHFL (Tyr9, Tyr84, Thr73, Asn77, Asn66, Tyr7, Glu63) به مولکول HLA-B37. در این شکل اسیدهای آمینه درگیر در پیوندهای هیدروژنی با رنگ سبز نشان داده شده است.



شکل ۶- نمودار تغییرات RMSD کمپلکس‌های پروتئین و پپتید در طول شبیه سازی. در این نمودارها پایین‌ترین میزان RMSD برای پپتید VDELAHFLL به رنگ مشکی و ناپایدارترین پپتید مربوط به پپتید NYKRCPVI به رنگ زرد نشان داده شده است. پپتید FLWGPRALA (آبی)، پپتید GVDYDGREHTV (خاکستری)، پپتید EVDPASNTY (قرمز)، پپتید KVLEHVVRV (قهوه ای) نمایش داده شده است.

و نوع HLA حامل آنها حائز اهمیت می‌باشد. در فرایند اتصال پپتید به مولکول HLA، پایداری ساختاری پپتید و ایمونونسیستی آن از جمله عوامل موثر در انتخاب موتیف برای عرضه به سلول‌های CTL توسط HLA می‌باشند (۲۵). لذا در این تحقیق ارزیابی پایداری ساختاری پپتید بر اساس شاخص‌های پایداری و آلفاتیک صورت گرفت که منجر به شناسایی پپتید VDELAHFLL با بالاترین شاخص پایداری (۲۸/۷۷-) و بالاترین شاخص آلفاتیک (۱۷۳،۳۳) شد (جدول ۲). فاکتور بعدی برای انتخاب یک پپتید به منظور ایمونوتراپی سرطان، توانایی پپتید در تحریک سیستم ایمنی به واسطه هر دو نوع سلول B و سلول T می‌باشد (۲۶). زیرا پپتیدهای با ایمونونسیستی بالاتر شانس بیشتری در اتصال به مولکول HLA در سلول دارند به طوریکه پپتیدهای ایمونودامیننت (Immuno-dominant) بهترین پپتیدها در این اتصال می‌باشند (۲۷). بدین منظور ایمونونسیستی پپتیدهای گزارش شده در منابع و همچنین پپتید VDELAHFLL مورد ارزیابی قرار گرفت، که پپتید مذکور به لحاظ درجه ایمونونسیستی در مرتبه دوم بعد از پپتید KVLEHVVRV قرار داشت (جدول ۲). مراحل ذکر شده مشابه تحقیقی است که در سال ۲۰۱۵ برای شناخت پپتیدهای آنتی ژنی ایمونودامیننت در *Plasmodium falciparum* انجام گرفته است (۲۸). از سویی دیگر باتوجه به اینکه براساس گزارشات (۴، ۱۱) قابلیت مولکول HLA-B37 در عرضه آنتی ژن‌های

سوماتیک سالم، خاموش هستند، از این جهت یک هدف درمانی ایده آل در درمان سرطان‌های وابسته محسوب می‌شوند (۲۲). MAGE-A4 کاندید مناسبی از اعضای این خانواده به دلیل بیان بالای آن در انواع سرطان‌ها با منشا بافتی مختلف می‌باشد که در این تحقیق مورد آزمون‌های محاسباتی در ارتباط با میزان الگوی بیان قرار گرفت (۸). در این تحقیق با استفاده از روش‌های آماری میزان بیان این آنتی ژن در سرطان‌های پستان، کارسینوئید، سرورگردن، تخمدان، پانکراس، تیروئید و برخی دیگر از یافت‌ها آشکار شد که از این میان بیشترین میزان بیان این آنتی ژن در سرطان سرورگردن مشاهده گردید (شکل ۲). این نتیجه با تحقیقی که در سال ۲۰۱۴ با استفاده از تکنیک ایمونوهیستوشیمی و rt-PCR بر روی خانواده آنتی ژنی MAGE به منظور طراحی واکسن برای سرطان تخمدان انجام شد مطابقت داشت و MAGE-A4 با بالاترین میزان بیان به عنوان کاندید مناسب طراحی واکسن معرفی شد (۲۳). علاوه بر میزان بیان آنتی ژن‌های خانواده MAGE که در طراحی داروهای هوشمند ضد سرطان حائز اهمیت می‌باشند، الگوی بیانی این نوع از مولکول‌ها و شناخت پپتید آنتی ژنی مشتق شده از آن در طراحی دارو تعیین کننده است. زیرا مکانیسم عرضه آنتی ژن‌های خانواده MAGE به سطح سلول به صورت کمپلکس‌های پپتیدی ۹ تا ۱۱ اسیدآمینهای توسط HLA های مختلف به سطح سلول می‌باشد (۲۴). لذا شناخت این موتیف‌ها در متن توالی



2. Sensi M, Anichini A. Unique tumor antigens: evidence for immune control of genome integrity and immunogenic targets for T cell-mediated patient-specific immunotherapy. *Clin Cancer Res*; 2006.12(17):5023-32.

3. Weon JL, Potts PR. The MAGE protein family and cancer. *Curr Opin Cell Biol*; 2015.37:1-8.

4. Zhang Y, Stroobant V, Russo V, Boon T, van der Bruggen P. A MAGE-A4 peptide presented by HLA-B37 is recognized on human tumors by cytolytic T lymphocytes. *Tissue Antigens*; 2002.60(5):365-71.

5. Salmaninejad A, Zamani MR, Pourvahedi M, Golchehre Z, Hosseini Bereshneh A, Rezaei N. Cancer/Testis Antigens: Expression, Regulation, Tumor Invasion, and Use in Immunotherapy of Cancers. *Immunol Invest*; 2016.45(7):619-40.

6. Boon-Falleur T, van der Bruggen P, De Plaen E, Lurguin C, Traversari C, Gaugler B, et al. Isolated cytolytic T cells specific for complexes of MAGE related peptides and HLA molecules. *Google Patents*; 1997.

7. Maher J, Davies ET. Targeting cytotoxic T lymphocytes for cancer immunotherapy. *Br J Cancer*; 2004.91(5):817-21.

8. Wu ZY, Gao YF, Wu YH, Liu W, Sun M, Zhai MX, et al. Identification of a Novel CD8+ T Cell Epitope Derived from Cancer-Testis Antigen MAGE-4 in Oesophageal Carcinoma. *Scand J Immunol*; 2011.74(6):561-7.

9. Jia ZC, Ni B, Huang ZM, Tian Y, Tang J, Wang JX, et al. Identification of Two Novel HLA-A\*0201-Restricted CTL Epitopes Derived from MAGE-A4. *Clin Develop Immunol*; 2010.2010:567594.

10. Calis JJA, Maybeno M, Greenbaum JA, Weiskopf D, De Silva AD, Sette A, et al. Properties of MHC Class I Presented Peptides That Enhance Immunogenicity. *PLOS Comput Biol*; 2013.9(10):e1003266.

11. Zhang Y, Stroobant V, Russo V, Boon-Falleur T, van der Bruggen P. MAGE-A4 antigenic peptides and uses thereof. *Google Patents*; 2007.

12. Thul PJ, Akesson L, Wiking M, Mahdessian D, Geladaki A, Ait Blal H, et al. A subcellular map of the human proteome. *Science*; 2017.356(6340).

13. Laskowski RA. PDBsum new things. *Nucleic Acids Res*; 2009.37(Database issue):D355-9.

14. Parker KC, Bednarek MA, Coligan JE. Scheme for ranking potential HLA-A2 binding peptides based on independent binding of individual peptide side-chains. *J Immunol (Baltimore, Md: 1950)*; 1994.152(1):163-75.

15. Rammensee HG, Bachmann J, Emmerich NPN, Bachor OA, Stevanović S. SYFPEITHI: database for MHC ligands and peptide motifs. *Immunogenetics*; 1999.50(3):213-9.

16. Gasteiger E, Hoogland C, Gattiker A, Duvaud Se, Wilkins MR, Appel RD, et al. Protein

خانواده MAGE مشخص شده است، در این تحقیق با استفاده از آزمون‌های بیوانفورماتیکی بررسی میل ترکیبی پپتیدها و HLA-B37 براساس معیار انرژی اتصالی، با استفاده از داکینگ پروتئین-پپتید انجام شد. همچنین به دلیل اهمیت پایداری پپتید در مولکول HLA، ارزیابی پایداری این کمپلکس، توسط شبیه سازی دینامیک مولکولی انجام شد و پپتید VDELAHFLL به عنوان پپتید برتر در فرایند عرضه آنتی ژن توسط HLA-B37 معرفی شد زیرا دارای کمترین میزان انرژی اتصالی بامولکول HLA-B37 و همچنین پایین ترین میزان نمودار RMSD در مدت زمان ۱۰ نانوثانیه در مقایسه با سایر پپتیدهای گزارش شده از MAGE-A4 بود. بنابراین کمپلکس HLA-B37-VDELAHFLL پایدارترین کمپلکس بوده که این پایداری نقش بسیار مهمی در عرضه پپتید آنتی ژنی به سلولهای CTL دارد (۲۹). در این راستا گزارش‌هایی از استفاده از شبیه‌سازی دینامیک مولکولی (MD) به منظور ارزیابی پویایی متقابل مولکول‌های MHC-I در حالت اتصال با لیگاند (پپتید)، ارائه شده است (۳۰). به طور کلی نتایج حاصل از این تحقیق نشان داد که موتیف VDELAHFLL مستتر در ناحیه ۱۱۴ تا ۱۲۳ تسوالی MAGE-A4 (MAGE-A4114-) 123VDELAHFLL می‌تواند به عنوان پپتید انتخابی در طراحی واکسن‌های درمانی، مونوکلونال آنتی‌بادی و ایمونوتوکسین درمانی برپایه CTL مورد استفاده قرار گیرد.

### تقدیر و تشکر

این پژوهش به سبب فراهم شدن تفکرات و زیرساخت‌های محاسباتی پیشرفته و مشاوره‌های دقیق علمی در مجموعه دانش محور زیست اقتصاد خیام انجام شده است، لذا نویسندگان این مقاله از اعضاء این مجموعه کمال تشکر را دارند.

### References

1. Nezafat N, Ghasemi Y, Javadi G, Khoshnoud MJ, Omidinia E. A novel multi-epitope peptide vaccine against cancer: an in silico approach. *J Theoret Biol*; 2014.349:121-34.

Identification and Analysis Tools on the ExpASY Server. In: Walker JM, editor. The Proteomics Protocols Handbook. Totowa, NJ: Humana Press; 2005. p. 571-607.

17. Peters B, Sidney J, Bourne P, Bui HH, Buus S, Doh G, et al. The immune epitope database and analysis resource: from vision to blueprint. *PLoS Biol*; 2005.3(3):e91.

18. Ngasundaram N, George Priya Doss C, Chakraborty Ch, Karthick V, Thirumal umar D, Balaji V, et al. Mechanism of artemisinin resistance for malaria PfATP6 L263 mutations and discovering potential antimalarials: An integrated computational approach. *Sci Reports*; 2016.6:30106.

19. Laskowski RA, Swindells MB. LigPlot+: multiple ligand-protein interaction diagrams for drug discovery. *J Chem Inform Model*; 2011.51(10):2778-86.

20. Abraham MJ, Murtola T, Schulz R, Páll S, Smith JC, Hess B, et al. GROMACS: High performance molecular simulations through multi-level parallelism from laptops to supercomputers. *SoftwareX*; 2015.1-2:19-25.

21. Gubin MM, Zhang X, Schuster H, Caron E, Ward JP, Noguchi T, et al. Checkpoint blockade cancer immunotherapy targets tumour-specific mutant antigens. *Nature*; 2014.515:577.

22. Weon JL, Potts PR. The MAGE protein family and cancer. *Curr Opin Cell Biol*; 2015.37:1-8.

23. Daudi S, Eng KH, Mhaweche-Fauceglia P, Morrison C, Miliotto A, Beck A, et al. Expression and Immune Responses to MAGE Antigens Predict Survival in Epithelial Ovarian Cancer. *PloS One*; 2014.9(8):e104099.

24. Coulie PG, Van den Eynde BJ, van der Bruggen P, Boon T. Tumour antigens recognized by T lymphocytes: at the core of cancer immunotherapy. *Nature Rev Cancer*; 2014.14:135.

25. Saha CK, Mahbub Hasan M, Saddam Hossain M, Asraful Jahan M, Azad AK. In silico identification and characterization of common epitope-based peptide vaccine for Nipah and Hendra viruses. *Asia Pacific J Tropic Med*; 2017.10(6):529-38.

26. Li W, Joshi MD, Singhanian S, Ramsey KH, Murthy AK. Peptide Vaccine: Progress and Challenges. *Vaccines*; 2014.2(3):515-36.

27. Demento SL, Siefert AL, Bandyopadhyay A, Sharp FA, Fahmy TM. Pathogen-associated molecular patterns on biomaterials: a paradigm for engineering new vaccines. *Trends Biotechnol*; 2011.29(6):294-306.

28. Longley RJ, Halbroth BR, Ewer KJ, Hill AV, Spencer AJ. Identification of Immunodominant Responses to the Plasmodium falciparum Antigens PfUIS3, PflSA1 and PflSAP2 in Multiple Strains of Mice. *PLoS One*; 2015.10(12):e0144515.

29. Wiczorek M, Abualrous ET, Sticht J, Álvaro-

Benito M, Stolzenberg S, Noé F, et al. Major Histocompatibility Complex (MHC) Class I and MHC Class II Proteins: Conformational Plasticity in Antigen Presentation. *Frontiers Immunol*; 2017.8:292.

30. Zacharias M, Springer S. Conformational Flexibility of the MHC Class I  $\alpha 1$ - $\alpha 2$  Domain in Peptide Bound and Free States: A Molecular Dynamics Simulation Study. *Biophysic J*; 2004.87(4):2203-14.